

## ارائه روشی برای محاسبه شکستگی DNA در ماهیان در مطالعات اکوتوکسیکولوژی

پورباقر، ه.؛ پورمقدم، ن.؛ سهیل ایگدری، م.<sup>۱</sup><sup>۱</sup>گروه شیلات، دانشکده منابع طبیعی، دانشگاه تهران، کرج، ایران

\*Email: poorbagher@ut.ac.ir

در این مطالعه سعی بر این شد تا روشی برای میزان شکستگی DNA ارائه شود. ماهی *A. sophiae* در معرض سم سایپرترین قرار داده شد. DNA آبشش استخراج و الکتروفورز گردید. از ژلها عکسبرداری گردید. با استفاده از نرم افزار *ImageJ* منحنی چگالی پیکسل بدست آمده و یک ماکرو هر ستون DNA به سه قسمت تقسیم شده و مساحت زیر هر یک از سه قسمت را بدست آورده و تقسیم بر مجموع مساحت سه قسمت گردید تا اثر مقدار متفاوت DNA استحصال شده از هر نمونه ماهی از بین برود. به سه قسمت روی ژل ضریبهای ۱ تا ۳ داده شد. ضرایب بزرگتر برای نواحی دورتر از چاهک ژل به دلیل کوچکتر بودن قطعات DNA بود. از میانگین حسابی و هندسی برای تخمین DNA استفاده شد. میانگین هندسی مقدار شکستگی را بیشتر نشان داد اما میانگین حسابی اختلاف معنی داری بین شکستگی DNA نمونه های کنترل و در معرض سم را نشان داد. مطالعه حاضر نشان داد که روش بکار رفته و ماهی آفانیوس توانایی تشخیص شکستگی DNA در مواجه با مقادیر سایپرترین دارد.

**کلمات کلیدی:** شکستگی DNA، آفانیوس، اکوتوکسیکولوژی، الکتروفورز، سایپرترین، ژل.

## مقدمه:

بخش عظیمی از آفت کشها در نهایت به اکوسیستمهای آبی میرسند. (Marino and Ronco, 2005) آفت کشها در محیط مانده و در نهایت ممکن است به انسان برسند. (Dich and Wiklund, 1998) آفت کشها به مشکل بزرگ جهانی بدل شده اند. این مواد بر اساس ساختار، موجودات هدف و نحوه عملکرد تقسیم بندی شده اند. (Plimmer, 2001) ارگانوکلرینها، ارگانوفسفاتها، پایرتروئیدها و کارباماتها از جمله دسته بندیهای هستند که بر اساس ساختار شیمیایی انجام شده است. از این دسته ارگانوکلرینها دارای ماندگاری بیشتری در محیط هستند و استفاده از آنها ممنوع شده است. (Nandan and Nimila, 2012) سایپرترین یک سم پایرتروئید است که در فعالیتهای کشاورزی مورد استفاده قرار میگیرد و برای موجودات آبی از جمله ماهی نیز سمیت بالایی دارد. (Singh and Singh, 2008) انواعی از علائم پاتولوژیک برای این سم در ماهی گزارش شده است شامل علائم رفتاری، بافت شناختی و شکستگی مواد وراثتی. (Jin et al., 2011) روشهای مختلفی برای بررسی اثر مواد شیمیایی بر DNA مورد استفاده قرار گرفته است که برخی عبارتند از مطالعه کینتیک سنتز و بازسازی DNA (Ahmadi and Nafisi, 2001) شکستگی زنجیره DNA (Nelson and Kastan, 1994)، ریز هسته (Scarpato et al., 1996) و آنالیز کامت. (Jin et al., 2011) از این میان آنالیز کامت به عنوان روشی دقیق مطرح شده است اما یک رشته از DNA را مورد بررسی قرار میدهد. الکتروفورز DNA دو رشته ای امکان بررسی مستقیم طول DNA را فراهم می آورد. تغییرات DNA دو رشته ای در اثر آسیب را متضمن پیامدهای بیولوژیک بیشتری دانسته اند. (Blocher and Pohlit, 1982) در بررسی شکستگی DNA با استفاده از الکتروفورز باند یا اسمیر وجود می آید. در صورت وجود آمدن باند امکان تعیین طول قطعات شکسته شده با استفاده از لدر وجود دارد. اما مطالعات پیشین نشان میدهد که اسمیر بوجود آمده بنابراین مرز مشخصی برای قطعات DNA گسترده شده روی لام وجود ندارد (Black et al., 1996; Nelson and Kastan, 1994). از اینرو

استفاده از لدر در چنین مواقعی غیر ممکن است. از اینرو مطالعه حاضر در نظر دارد تا روشی برای کمی سازی شکستگی *DNA* ارائه نماید که مبتنی بر نظر شخص نبوده و همچنین نیازمند مقدار مساوی از *DNA* بین نمونه ها نباشد. برای این منظور اثر سم سایپرمتترین بر شکستگی *DNA* ماهی *Aphanius sophiae* بررسی گردید.

### مواد و روش‌ها:

برای این مطالعه از *Aphanius sophiae* استفاده گردید که از رودخانه اشتهارد در استان البرز و با استفاده از تور ساچوک صید گردید. ماهیها دارای میانگین طول ۳/۳ سانتی متر (با انحراف معیار ۰/۲۴) بودند. میانگین وزن نمونه ۰/۶۱ گرم (با انحراف معیار ۰/۲۴) بود. در مطالعات قبلی مقدار سایپرمتترین در آبهای سطحی کمتر از ۰/۲ میکروگرم در لیتر گزارش شده است. از اینرو نمونه ها در معرض دو تیمار ۰ (کنترل) و ۰/۰۲ میکروگرم بر لیتر برای مدت ۱۴ روز قرار گرفتند. دوز پایین مورد استفاده برای کاهش احتمال مرگ و میر نمونه ها در طول آزمایش و همچنین به منظور ارزیابی روش الکتروفورز برای تشخیص مقادیر بسیار پایین سم سایپرمتترین به عنوان اندیکاتور بود. نمونه ها در آکواریومهای شیشه ای با آب کلرزدایی شده که مجهز به هواده بود نگهداری شدند. بعد از اتمام آزمایش نمونه ها با پودر گل میخک بیهوش گردیده و آبشش آنها جدا شده در اتانول نگهداری گردید.

استخراج *DNA*، الکتروفورز و استخراج داده از ژل: برای استخراج *DNA 20* تا ۲۵ میلیگرم نمونه مورد استفاده قرار گرفت. استخراج با استفاده از کیت سیناژن و مطابق با دستورالعمل سازنده انجام شد. در نهایت *DNA* استخراج شده بر روی ژل آگارز در بافر *TBE* قرار داده شد. اتیدیم بروماید به ژل افزوده شد تا امکان عکسبرداری از *DNA* فراهم آید. در نهایت، از ژل با استفاده از سیستم ژل داک عکسبرداری گردید. ابتدا یک ماکرو برای برنامه نرم افزار *ImageJ* نوشته شد (شکل ۱). ماکرو در یک فایل متنی با فرمت *.txt* ذخیره شد. برای نصب این فایل در *ImageJ* از منوی *Plugins* استفاده شده و ماکرو نصب گردید.

شکل ۱- ماکرو نوشته شده برای نرم افزار *ImageJ* برای قسمت نمودار سطح زیر منحنی چگالی پیکسل.

```
Width = getWidth; height = getHeight;
//determine the number of segments
N = getString("Enter the number of streing:", N);
x = newArray(N);
for(i = 1; i < N; i++){
    x[i] = (width/N)*i;
    drawLine(x[i], 0, x[i], height) }
```

سپس عکس های سیاه و سفید گرفته شده از ژل با استفاده از نرم افزار فتوشاپ ورژن ۷ *invert* گردیدند. به این معنی که هر بخش سفید به سیاه و بالعکس تبدیل شدند. عکسهای تغییر داده شده وارد نرم افزار *ImageJ* گردید. هر اسمیر با استفاده از منوی آنالیز و ژل برای هر اسمیر نمودار تراکم پیکسل ترسیم گردیده و با استفاده از ماکروی نوشته شده به سه قسمت تقسیم گردید. هر یک از سه سطح زیر نمودار با استفاده از ابزار *Wand* تعیین مساحت شد که بر اساس تعداد پیکسل بود. برای هر اسمیر که متعلق به یک نمونه ماهی بود، مساحت هر یک از سه سطح بر مجموع سه مساحت تقسیم گردید تا اثر مساوی نبودن مقدار *DNA* در هر اسمیر از بین برود. روند کار در شکل ۲ آمده است.

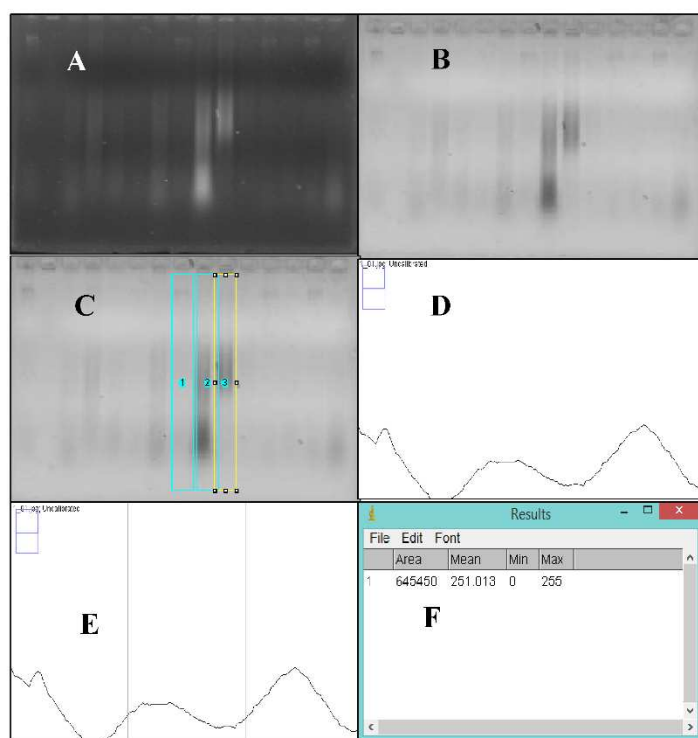
آنالیز داده ها: از میانگین وزنی برای تعیین شکستگی *DNA* استفاده گردید. برای این منظور وزن ۱، ۲ و ۳ برای هر یک از سه قسمت اول، وسط و سوم ستون ژل در نظر گرفته شد. زیادتیر شدن وزن با توجه به دور شدن از چاهک الکتروفورز بر این مبنا بود که قطعات کوچکتر سریعتر به انتهای ستون ژل رسیده و سهم مهمتری در این نتیجه گیری که *DNA* خرد شده است دارند. برای هر ستون ژل میزان شکستگی با فرمول زیر محاسبه شد:

$$\bar{x} = \frac{\sum_{i=1}^n w_i x_i}{\sum_{i=1}^n w_i}$$

که در این فرمول  $\bar{x}$ ، میانگین حسابی وزنی برای شکستگی DNA هر نمونه ماهی،  $x_i$ ، عدد بدست آمده برای هر ناحیه از سطح زیر نمودار در هر ستون ژل،  $w_i$ ، وزن داده شده به هر یک از سه قسمت زیر نمودار و  $n$ ، قسمت زیر نمودار بود که از ۱ تا ۳ در تغییر بود. برای محاسبه میانگین هندسی وزنی از فرمول زیر استفاده شد:

$$\bar{x} = \left( \prod_{i=1}^n x_i^{w_i} \right)^{1/\sum_{i=1}^n w_i}$$

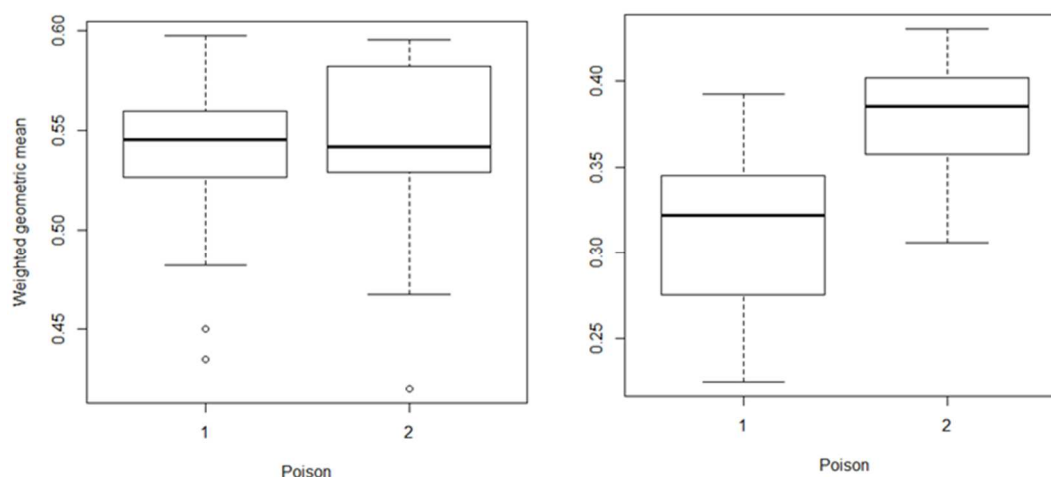
میانگین حسابی و هندسی وزنی بدست آمده برای هر نمونه ماهی با استفاده از آزمون  $t$  بین ماهیان دریافت کنده سم و گروه کنترل مقایسه گردید.



شکل ۲- مراحل استخراج داده از ژل. A- عکسبرداری از ژل. B- اینورت نمودن تصویر. C- تعیین محدوده هر ستون از DNA. D- تراکم پیکسل بدست آمده برای هر ستون ژل. E- تقسیم هر منحنی به سه قسمت با استفاده از ماکرو. F- استخراج مساحت هر یک از سه قسمت زیر سطح نمودار.

### نتایج:

مقدار شکستگی DNA محاسبه شده با روش میانگین حسابی و هندسی در شکل ۳ آورده شده است. محاسبات صورت گرفته بر اساس میانگین حسابی مقدار شکستگی DNA را کمتر از آنچه میانگین هندسی برآورد نمود. میزان شکستگی DNA برآورد شده بر اساس میانگین حسابی از ۰/۲۲ تا ۰/۴۳ و بر اساس میانگین هندسی از ۰/۴۱ تا ۰/۵۹ در تغییر بودند.



شکل ۳- تغییرات میزان شکستگی DNA اندازه گیری شده با میانگین حسابی و هندسی.

آزمون  $t$  وجود اختلاف معنی دار بین میزان شکستگی DNA نمونه های گروه کنترل و نمونه های قرار گرفته در معرض سم را بر اساس محاسبه میانگین حسابی نشان داد ( $t = -7.4397, df = 74.743, p\text{-value} = 1.404e-10$ ). همین آزمون اختلاف معنی داری را بین دو گروه بر اساس محاسبه میانگین هندسی نشان ندادند ( $t = -1.003, df = 83.644, p\text{-value} = 0.3187$ ).

#### بحث:

از اسید نوکلئیک برای ارزیابی اثرات ترکیبات شیمیایی بسیار استفاده شده است. (Das and Mukherjee, 2003) اندازه گیری شکستگی DNA به ندرت به صورت کمی (Black et al., 1996) و همچنین کیفی صورت گرفته است. مطالعه حاضر نشان داد که سایپرترین در غلظتهای پایین نیز میتواند تاثیرات شدید بر شکستگی DNA در ماهی *A. sophai* داشته باشد. مطالعه حاضر همچنین نشان داد زنجیره دوتایی DNA حساسیت لازم نشان دادن این سم را در محیط دارد و غلظتهای کمتر از آنچه در محیط وجود دارد را منعکس مینماید. اثرات مخرب سایپرترین در ماهیان دیگر نیز مورد بررسی قرار گرفته است و اثرات تخریبی DNA به استرس اکسیداسیونی (Jin et al., 2011) و ظرفیت سرکوب شده تعمیر (Shi et al., 2011) نسبت داده شده است.

اندازه گیری DNA بر اساس چگالی آن بر روی یک ستون ژل نیازمند وجود باندهای مشخص است. وقتی DNA بر روی ژل گسترش پیدا می کند نمیتوان مرز مشخصی برای آن یافت و با استفاده از لدر اقدام به تعیین وزن مخصوص بخشی از گسترش را معین نمود. در مطالعه حاضر روشی عملی و بدور از قضاوت شخصی ارائه دهد.

همچنین نشان داده شد که نوع محاسبه انجام شده بر نتیجه گیری نهایی اثر میگذارد. محاسبه بر اساس محاسبه بر اساس میانگین هندسی میزان شکستگی را بزرگتر از محاسبه صورت گرفته بر اساس میانگین حسابی ارزیابی مینماید اما اختلاف معنی دار بین تیمارها را نشان نداده است. در مطالعه حاضر، تعداد قسمتهای در نظر گرفته شده برای هر ستون ژل سه عدد بود، مطالعه



ای دیگر لازم است تا مشخص شود بکار بردن تعداد قسمتهای بیشتر بر روی ژل بر نتایج دو روش بکار برده چه اثری میتواند داشته باشد.

## منابع:

- 1- Ahmadi, M. R. and M. Nafisi (2001). Identification of bioindicator invertebrates in running waters. Khabir Press. Iran, 240 p.
- 2- Black, M. C., J. R. Ferrell, R. C. Horning and L. K. Martin (1996). DNA strand breakage in freshwater mussels (*Anodonta grandis*) exposed to lead in the laboratory and field. *Environmental Toxicology and Chemistry*, 15: 802-808.
- 3- Blocher, D. and W. Pohlit (1982). DNA double strand breaks in Ehrlich ascites tumour cells at low doses of X-rays. II. Can cell death be attributed to double strand breaks? *International Journal of Radiation Biology*, 42: 329-338.
- 4- Das, B. K. and S. C. Mukherjee (2003). Toxicity of cypermethrin in *Labeo rohita* fingerlings: biochemical, enzymatic and haematological consequences. *Comparative Biochemistry and Physiology, Part C Toxicology and Pharmacology*, 134: 109-121.
- 5- Dich, J. and K. Wiklund (1998). Prostate cancer in pesticide applicators in Swedish agriculture. *The Prostate*, 34: 100-112.
- 6- Jin, Y., S. Zheng, Y. Pu, L. Shu, L. Sun, W. Liu and Z. Fu (2011). Cypermethrin has the potential to induce hepatic oxidative stress, DNA damage and apoptosis in adult zebrafish (*Danio rerio*). *Chemosphere*, 82: 398-404.
- 7- Marino, D. and A. Ronco (2005). Cypermethrin and chlorpyrifos concentration levels in surface water bodies of the Pampa Ondulada, Argentina. *Bulletin of Environmental Contamination and Toxicology*, 75: 820-826.
- 8- Nandan, S. B. and P. J. Nimila (2012). Lindane toxicity: Histopathological, behavioural and biochemical changes in *Etroplus maculatus* (Bloch, 1795). *Marine Environmental Research*, 76: 63-70.
- 9- Nelson, W. G. and M. B. Kastan (1994). DNA strand breaks: the DNA template alterations that trigger p53-dependent DNA damage response pathways. *Molecular and Cellular Biology*, 14: 1815-1823.
- 10- Plimmer, J. R. 2001. Chemistry of Pesticides. In: R.I. Krieger (Ed.). *Handbook of pesticide toxicology*. USA, Academic Press. 1. pp: 95-107.
- 11- Scarpato, R., L. Migliore, G. Angotzi, A. Fedi, L. Miligi and N. Loprieno (1996). Cytogenetic monitoring of a group of Italian floriculturists: no evidence of DNA damage related to pesticide exposure. *Mutation Research/Genetic Toxicology and Environmental Mutagenesis*, 367: 73-82.
- 12- Shi, X., A. Gu, G. Ji, Y. Li, J. Di, J. Jin, F. Hu, Y. Long, Y. Xia and C. Lu (2011). Developmental toxicity of cypermethrin in embryo-larval stages of zebrafish. *Chemosphere*, 85: 1010-1016.
- 13- Singh, P. B. and V. Singh (2008). Cypermethrin induced histological changes in gonadotrophic cells, liver, gonads, plasma levels of estradiol-17 $\beta$  and 11-ketotestosterone, and sperm motility in *Heteropneustes fossilis* (Bloch). *Chemosphere*, 72: 422-431.